

حامل‌های لیپیدی نانوساختار حامل اسید لینولئیک کنژوگه و غنى سازی شیر کم چرب پاستوریزه با آن

فرین فرزادنیا^۱، اکرم پژشکی نجف آبادی^{۲*}

۱. دانش آموخته کارشناسی ارشد، گروه علوم و صنایع غذایی، واحد ممقان، دانشگاه آزاد اسلامی، ممقان، ایران

۲. استادیار، گروه علوم و صنایع غذایی، دانشکده کشاورزی، دانشگاه تبریز

(تاریخ دریافت: ۹۶/۳/۱۱، تاریخ آخرین بازنگری: ۹۶/۷/۸، تاریخ پذیرش: ۹۶/۸/۲۱)

چکیده

درون‌پوشانی اسیدهای چرب ضروری در انواع نانوحامل، روشی مؤثر در بهبود کارایی بیولوژیکی آن‌ها و تحويل کنترل شده در مقدار و مکان معین است. در این مطالعه به تولید حامل‌های لیپیدی نانوساختار حامل اسید لینولئیک کنژوگه (CLA) با استفاده از روش هموزنیزاسیون گرم-نیروی برشی بالا، با فرمولاسیون بر پایه (w/v) ۳٪ سورفاکtant (پلوکسامر ۴۰۷) و نسبت ۱۰/۱ به کره کاکائو (فاز لیپید) به رogen مایع (CLA) و در ادامه غنى سازی شیر کم چرب پاستوریزه با آن پرداخته شده است. آزمون‌های اندازه ذرات، مورفوولوژی، تعیین میزان کدورت، پتانسیل زتا در طی مدت نگهداری، پایداری اندازه ذرات و پایداری اکسیداتیو نمونه‌ها و در ادامه غنى سازی انجام شد. نانو ذرات حاصله دارای اندازه قطرات ۸۱ nm با توزیع پراکندگی ۰/۸۳ یک روز پس از تولید بود. تصاویر به دست آمده از میکروسکوپ الکترونی روبشی، تأییدی بر اندازه ذرات به دست آمده از دستگاه اندازه‌گیری ذرات بود. سیستم حامل لیپیدی نانوساختار حاوی اسید لینولئیک کنژوگه حاصله شفاف و بدون کدورت بوده و اندازه ذرات در طی مدت زمان نگهداری (۶۰ روزه) در مقیاس نانو بود و اندازه ذرات سیستم پایدار بود. مقدار پتانسیل زتا نمونه‌ها خیلی جزی و نزدیک صفر به دست آمد. نتایج حاصل از پایداری اکسیداتیو نشان داد با درون‌پوشانی CLA در سیستم نانوحامل لیپیدی محافظت این ترکیب در برابر اکسیداسیون بیشتر و تولید محصولات ثانویه اکسیداسیون (مالون آلدهیدها) کمتر بود ($p < 0.05$). نتایج غنى سازی شیر کم چرب با نانوحامل حاوی CLA نشان داد استفاده از این نانوحامل بر روی پایداری و حفظ CLA در برابر فرایند حرارتی (پاستوریزاسیون) اثرگذار است و CLA طی مدت نگهداری به میزان ۳/۹٪ اسیدهای چرب شیر حفظ شد. با توجه به نتایج به دست آمده می‌توان از سیستم نانوحامل لیپیدی در محافظت بیشتر CLA در برابر اکسیداسیون، حرارت‌دهی و سایر فرایندها جهت غنى سازی محصولات کم چرب با این ترکیب استفاده کرد.

واژه‌های کلیدی: حامل لیپیدی نانوساختار، اسید لینولئیک کنژوگه، درون‌پوشانی، غنى سازی.

۱. مقدمه

هیسپرتین [۱۱]، لوتبین [۱۲]، کوئرستین [۱۳]، ویتامین A پالیتات [۱۴] و اسید لینولئیک کنژوگه (CLA)^۱ [۱۵]، در ساختارهای NLC با کارایی درون‌پوشانی بیشتر از ۹۰٪ در تمام فرمولاسیون‌ها، اشاره کرد.

شیر و فراورده‌های لبنی حاصل از آن، مهم‌ترین منابع غذایی مورد استفاده در تغذیه هستند که احتیاجات انرژی و پروتئین با کیفیت بالا و انواع ویتامین‌ها و مواد معدنی را برآورد می‌کنند. چربی شیر حاوی چندین ترکیب بیولوژیکی ویژه است که نقش موثر آن‌ها به عنوان عوامل ضدسرطان شناخته شده است. یکی از این ترکیبات، CLA است و فراورده‌های مختلف لبنی منبع عمدۀ این ترکیبات بوده و عمدتاً در رژیم غذایی انسان گنجانده می‌شود. اثرات مفید CLA شامل ضد سرطان بودن آن، ضد تصلب شرایین، ضد دیابت نوع دوم، افزایش دهنده عملکرد سیستم ایمنی و جلوگیری از پوکی استخوان است [۱۶]. این ترکیب، به تازگی به علت اثرات متعددی مانند اثر بر ترکیب بدن و کاهش بافت چربی واژرات ضد سرطانی که دارد علاقه علمی زیادی را به خود جلب کرده است.

ولی با توجه به این‌که به تازگی محورهای تحقیقاتی بر روی تغییر محتوای چربی شیر و تغییرات ترکیبات ارزش تغذیه‌ای متمرکز شده است و با توجه به حساسیت ترکیبات شیر (اسیدهای چرب ازاد، ویتامین‌ها و ترکیبات عملگر) به اکسیداسیون و شرایط محیطی و فرایند حین تولید مانند پاستوریزاسیون و حساسیت زیاد CLA به اکسیداسیون، نور و حرارت و همچنین به خاطر دارا بودن ساختار شیمیایی غیراشباع و به منظور جبران کمبودهای ناشی از دریافت آن در مواد غذایی و شیر کم‌چرب نیاز به غنی‌سازی شیر با ترکیبات معدنی از جمله CLA و همچنین استفاده از درون‌پوشانی این ترکیبات در غنی‌سازی شیر با آن است.

هدف این تحقیق، تولید فرمولاسیون بهینه از حامل‌های لیپیدی نانوساختار حاوی CLA و بررسی ویژگی‌های شیمیایی آن در انتقال، رهایش و قابلیت حفاظت‌کنندگی از CLA است تا در نهایت بتوان با استفاده از آن به غنی‌سازی شیر کم‌چرب پاستوریزه پرداخت.

با کاهش میزان چربی در رژیم غذایی، بسیاری از مواد معدنی مورد نیاز بدن مانند انواع ویتامین‌های محلول در چربی، آنتی-اکسیدان‌ها و اسیدهای چرب چند غیراشباعی دچار کمبود می‌شود. حلالیت بسیار پایین ترکیبات غذا-دارو (نوتریسیتیکال^۲) آبگریز در محیط‌های آبی و انواع نوشیدنی‌ها و ناپایداری آن‌ها در حضور عوامل اکسید کننده، فلزات سنگین و ترکیبات تولید کننده رادیکال آزاد و همچنین نور مشکلی در غنی‌سازی مواد غذایی با این گروه ترکیبات ضروری برای بدن است. در سال‌های اخیر، کاربرد نانوذرات جهت محافظت و انتقال ترکیبات محلول در چربی بیشتر مورد توجه واقع شده و استفاده از نانوتکنولوژی راهکاری مفید در غنی‌سازی مواد غذایی است و می‌توان با استفاده از فناوری نانو قابلیت پخش‌پذیری و پایداری ترکیبات آبگریز را با وارد کردن آن‌ها در نانو حامل‌های کلوبیدی بهبود بخشید [۱، ۲] و درون‌پوشانی^۳ می‌تواند روشی مؤثر بر بهبود کارایی بیولوژیکی آن‌ها باشد. یکی از متداول‌ترین نانو حامل‌های بر پایه لیپیدی در صنایع غذایی، حامل‌های لیپیدی نانوساختار (NLC)^۴ است [۳-۵]. این ساختارها متشکل از فاز لیپیدی جامد، فاز لیپیدی مایع، عامل فعال سطحی (امولسیفایر) و آب می‌باشند که در آن پوشش لیپیدی جامد، لیپید مایع را در بر می‌گیرد [۵]. ساختار حامل‌های لیپیدی نانوساختار از مزایای منحصر به فرد و ویژه‌ای برای درون‌پوشانی ترکیبات چربی دوست از جمله بارده و کارایی بالا در درون‌پوشانی، پایداری بالاتر در برابر تفکیک گرانشی به علت بالاتر بودن چگالی ذرات، سرعت رهایش پایین عدم استفاده از حللاهای آلی در تهیه آن‌ها، وجود غلظت-های بالا از ترکیبات عملگر در هر ذره و امکان تولید و استریلیزاسیون آن‌ها در مقیاس‌های بزرگ صنعتی برخوردار هستند [۶، ۷، ۸]. در سال‌های اخیر، تحقیقات متعددی برای توسعه کاربرد حامل‌های لیپیدی نانوساختار در غنی‌سازی مواد غذایی با ویتامین‌ها و ترکیبات نوتریسیتیکال صورت گرفته است. در این زمینه می‌توان به تولید حامل‌های لیپیدی نانوساختار حاوی ویتامین D3 [۹] نانو حامل‌های حاوی بتاکاروتن با استفاده از روغن اسکوآلن و روغن هسته انگور [۱۰]، درون‌پوشانی

1. Nutricetal

2. Encapsulation

3. Nano Lipid Carrier

(رابطه ۱) تعیین شد [۱۴].

$$\bar{D}[4,3] = \frac{\sum n_i d_i^4}{\sum n_i d_i^3} \quad (1)$$

n_i : تعدادات ذرات، d_i : قطر میانگین ذرات
توزیع اندازه ذرات نیز با استفاده از رابطه (۲) محاسبه شد:

$$Span = \frac{D(90\%) - D(10\%)}{D(50\%)} \quad (2)$$

D(90%): قطری که حجم ذرات کوچک‌تر از آن، ۹۰٪ حجم کل ذرات موجود در سیستم را تشکیل می‌دهد.
D(50%): قطری که حجم ذرات کوچک‌تر از آن، ۵۰٪ حجم کل ذرات موجود در سیستم را تشکیل می‌دهد (قطر میانه).
D(10%): قطری که حجم ذرات کوچک‌تر از آن، ۱۰٪ حجم کل ذرات موجود در سیستم را تشکیل می‌دهد.

۲.۰.۲. میزان کدورت

کدورت نانوحامل لیپیدی حاوی CLA، در دستگاه طیف‌سنج نوری و در طول موج ۶۰۰ نانومتر اندازه‌گیری شد. برای اندازه-گیری کدورت، از مقادیر متفاوت لیپید جامد چهار سطح (۰/۵، ۰/۱، ۰/۲ و ۰/۷۵ گرم در تولید یک سیستم نانوحامل) استفاده شد. ابتدا یک میلی‌لیتر از نمونه با ۲ میلی‌لیتر آب مقطر رقيق و به مدت ۳۰ دقیقه در دمای اتاق نگهداری شد. بعد نمونه‌ها در سل مربوط به اسپکتوفوتومتر ریخته و کدورت نمونه‌ها اندازه‌گیری شدند [۱۵].

۴.۰.۲. بررسی پایداری اندازه ذرات NLC در طی مدت زمان نگهداری

به منظور بررسی پایداری فیزیکی سیستم کلوبیدی طی مدت نگهداری سیستم، آزمون تعیین میزان پایداری اندازه ذرات با اندازه‌گیری اندازه ذرات طی روزهای نگهداری ۰۷، ۱۴، ۲۱، ۳۰ و ۴۵ روز پس از تولید انجام شد [۱۷].

۵.۰.۲. پتانسیل زتا

برای مشخص شدن نحوه عمل نیروهای دافعه الکتروستاتیک بین ذرات NLC و میزان پایداری سیستم حاصل، از نتایج تحرک الکتروفورتیک و پتانسیل زتا با استفاده از دستگاه زتا سایزر

۲. مواد و روش‌ها

۱.۰.۲. مواد استفاده

آب دوبار تقطیر، اسید لینولئیک کونزوگه با خلوص نزدیک ۸۰٪ مخلوطی از ایزومرهای ۹-سیس ۱۱-ترانس و ۱۰-ترانس ۱۲، سیس، محصول شرکت داروسازی زهراوی تهران، شیر پاستوریزه کم چرب (کمتر از ۱۶٪ درصد چربی)، شرکت سهامی پگاه تبریز- ایران، کره کاکائو به عنوان لیپید جامد، سورفاکtant هیدروفیل غیر یونی پلوكسامر ۴۰۷ از شرکت سیگما ساخت کشور آلمان و کلیه مواد شیمیایی جهت انجام آزمایشات از شرکت مرک ساخت کشور آلمان با درجه خلوص تجزیه‌ای تهیه شدند.

۲.۰.۲. روش‌ها

۱.۰.۲.۱. روش تهیه حامل لیپیدی نانوساختار (NLC) حاوی CLA
تهیه NLC‌های حاوی CLA به روش هموژنیزاسیون داغ با نیروی برشی بالا (Hot-HSH) صورت پذیرفت [۷]. ابتدا فاز روغنی، شامل کره کاکائو و CLA، در مقدار وزنی مشخص شده در حمام آبی تا ۵ درجه بالاتر از نقطه ذوب کره کاکائو (دما ۸۰°C) حرارت داده شدند. سپس محلول سورفاکtant فاز آبی (پلوكسامر ۴۰۷) با دمای ۸۰°C به صورت قطره قطره به داخل فاز روغنی حاوی CLA تحت دمای ۸۰°C و در زیر هموژنائزر نیروی برشی بالا شرکت Hiedolph، ساخت آلمان، اضافه گردید. در این مرحله امولسیون روغن در آب مشکل از قطرات چربی حاوی CLA، تولید شده و سپس با سرد شدن سیستم در دمای اتاق، نانو قطره‌ها کریستالیزه گشته و NLC تولید شد. در تهیه NLC‌ها رعایت شرایط هم دمایی در تهیه هر دو فاز و هنگام مخلوط کردن بسیار ضروری است [۱۴].

۲.۰.۲.۲. تعیین اندازه ذرات

قطر معادل و شاخص توزیع (اسپن^۱) حامل‌های لیپیدی نانوساختار حاوی CLA از روی توزیع اندازه ذرات در دستگاه اندازه‌گیری اندازه ذرات SHIMADZO SALD 2101، مدل ۰۷، تعیین گردید. اندازه‌گیری اندازه ذرات پس از ساخت ژاپن، ۲۴ ساعت از تولید و نگهداری نمونه در دمای محیط گذشت، تعیین گردید. اندازه‌گیری اندازه ذرات پس از انجام شد. متوسط اندازه ذرات بر اساس میانگین قطر حجمی

1. span

۸.۲.۲. تهیه نمونه‌های شیر غنی‌سازی شده و بررسی پایداری اسید لینولئیک کنژوگه در شیر پاستوریزه طی نگهداری در دمای یخچال

هر سیستم حامل لیپیدی نانوساختار (۳۵ ml) حاوی CLA ۲/۵ µg/ml CLA ۵۰۰۰ µg بود و با توجه به مقدار غنی‌سازی

به شیر کم‌چرب، به ازای ۱۰۰ میلی‌لیتر شیر کم‌چرب، ۱/۱۷۷ ml از فرمولاسیون نانوحامل لیپیدی و به ازای ۱۰۰ سی‌سی شیر کم‌چرب، ۱/۱۲۵ ml از کنژوگه لینولئیک مزدوج خالص (نمونه کنترل) اضافه گردید و در ادامه تحت فرایند پاستوریزاسیون، ۶۵ °C به مدت ۳۰ دقیقه در بن ماری، قرار گرفتند. از نمونه‌های شیر پاستوریزه شده نمونه برداری جهت استخراج اسید چرب از شیر صورت گرفت. هم چنین از نمونه شیرخام و فرایندشده بدون اضافه کردن هیچ سیستمی، جهت تعیین مقدار اولیه اسید چرب مزدوج پیک گرفته شد. در جدول (۱) مشخصات اولیه شیر خام مورد استفاده نشان داده شده است.

۱.۸.۲.۲. اندازه‌گیری پروفایل اسیدهای چرب در شیر و میزان کنژوگه لینولئیک اسید شناسایی و تعیین مقدار اسیدهای چرب موجود در چربی‌های استخراج شده با سیستم GC مجهز به آشکارساز یونی شعله و ستون مویین انجام شد. اسپلیت دستگاه ۱ به ۱۰۰ تنظیم و دمای محل ترزیق و آشکارساز به ترتیب بر روی ۲۷۰ و ۳۰۰ °C

در طی ۹۰ روز نگهداری استفاده شد. برای این منظور، هریک از نمونه‌ها نخست با استفاده از آب مقطر رقیق و اندازه‌گیری پتانسیل زتا در pH = ۷/۴ و در دمای ۲۵°C و توان ۱۴۹ وات انجام شد [۱۸].

۶.۲.۲. ریخت‌شناسی^۱ حامل لیپیدی نانوساختار با استفاده از میکروسکوپ الکترونی روبشی (SEM) نمونه NLC تولیدی با استفاده از دستگاه میکروسکوپ الکترونی روبشی (SEM)، Leo 906 KV (SEM)، Zeiss 100 KV (SEM)، مدل کشور آلمان، تصویربرداری شد [۱۹].

۷.۲.۲. بررسی پایداری اکسیداتیو CLA پایداری اکسیداتیو NLC حاوی اسید لینولئیک کنژوگه در طی روزهای ۳۰، ۴۵ و ۶۰ با استفاده از آزمایش تیوباربیوتیک اسید (TBA) اندازه گیری شد. ۱ میلی‌لیتر از نمونه NLC با ۲ میلی‌لیتر از محلول واکنشگر TBA (۱/۱۵ گرم تری کلرو استیک اسید، ۰/۳۴ گرم واکنشگر TBA ۱/۷۶ میلی‌لیتر از هیدروکلریک اسید، ۱۲ مولار و ۸/۲۸ میلی‌لیتر آب) مخلوط شده و به مدت ۳۰ دقیقه داخل آب جوش قرار گرفت و سپس با جریان آب سرد به مدت ۵ دقیقه سرد و در ۴۰۰ g به مدت ۲۰ دقیقه سانتریفیوژ شد، جذب در طول موج ۵۳۲ نانومتر با استفاده از اسپکتوفوتومتر اندازه‌گیری شد [۱۵].

جدول (۱) مشخصات اولیه شیر خام مورد استفاده

Table 1 primary properties of used raw milk

واحد Unit	كمیت quantity
pH	6.6
فعالیت Acidity	15 Dornic degree
چربی Lipid	0.6%
پروتئین Protein	2.95%
کل مواد جامد Total Solid (TS)	9.8%
مواد جامد غیر چربی Solid Non Fat (SNF)	9.2%

(شکل ۱). در تحقیقات مشابه نیز فریدآفایی و همکاران [۱۵] در تولید نانوحامل حاوی کنژوگه لینولئیک اسید، پزشکی و همکاران [۱۴] در تولید نانوحامل حاوی ویتامین A پالمیتات و محمدی و همکاران [۹] در تولید نانوحامل حاوی ویتامین D₃ به نتایج مشابه دست یافتند. در تمامی تحقیقات اندازه ذرات با توزیع یکنواخت و تک مد در مقیاس نانو و زیر ۱۰۰ نانومتر بود. انتخاب مناسب ماتریکس لیپیدی و نوع سورفاکtant، فاکتور کلیدی مهم در تهیه NLC مناسب و پایدار است. از انواع مختلف لیپیدهای جامد شامل لیپیدهای طبیعی، نیمه سنتیک و سنتیک با ساختارهای مختلف می‌توان به عنوان ماتریکس لیپیدی در تهیه انواع NLC استفاده کرد [۷].

۲.۳. مورفولوژی نانوذرات با استفاده از میکروسکوپ الکترونی روبشی (SEM)

تصویر مربوط به میکروسکوپ الکترونی روبشی، وجود ذرات تقریباً کروی با اندازه نانومتری را نشان داد که تأییدی بر نتایج به دست آمده از دستگاه اندازه‌گیری اندازه و توزیع ذرات بود (شکل ۲). نتایج SEM دارای اندازه کوچک‌تر نسبت به نتایج حاصل از دستگاه DLS می‌باشد، زیرا در طی خشک کردن فرایند آب‌اندازی، رخ داده که موجب کاهش اندازه ذرات کمپلکس شده است [۲۱]. هم‌چنین یکنواختی مشاهده شده در اندازه ذرات، توزیع مناسب اندازه ذرات را تأیید می‌کند. نتایج به دست آمده با نتایج محمدی و همکاران [۹] در تولید نانوحامل حاوی ویتامین D₃ مطابقت داشت.

۳.۰. پایداری اندازه ذرات فرمولاسیون NLC

نتایج پایداری اندازه و توزیع ذرات فرمولاسیون بهینه NLC طی نگهداری به مدت ۶۰ روز نشان داد همواره اندازه ذرات در مقیاس نانو با توزیع یکنواخت است و افزایش اندازه در طی مدت زمان رخ نداد (شکل ۳).

کاوسویک و همکاران [۲۲] بیان نمودند سطح فعال منو و دی- گلسلیریدها و هم‌چنین مخلوطی از آن‌ها، امولسیفیکاسیون را تسهیل کرده و بنابراین فیلم‌های محکمی از سورفاکtant در اطراف نانوذرات لیپیدی تشکیل می‌دهند و باعث بهبود و افزایش پایداری فیزیکی نانوحامل کلوبیدی می‌گردد. سان و همکاران [۱۳] گزارش کردند با افزایش مدت زمان نگهداری در دمای

تنظیم شده برنامه‌ریزی گردیده بود. گاز نیتروژن با خلوص ۹۹/۸٪ و با جریان ۲ ml/min به عنوان گاز حامل استفاده گردید.

۳.۲. آنالیز آماری

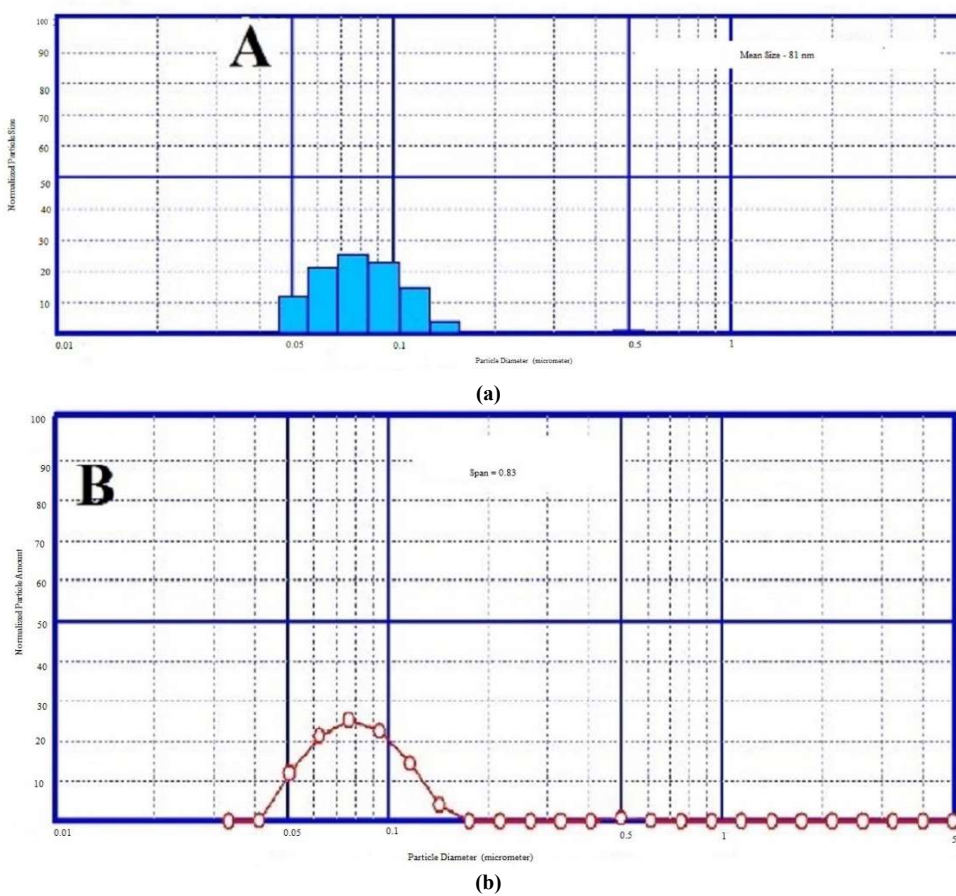
آزمون‌های فیزیکی و شیمیایی بر اساس طرح کاملاً تصادفی با ۳ تکرار انجام پذیرفت. در ابتدا تولید نانوحامل و بررسی ویژگی‌های آن در تولید (اندازه ذرات، ریخت‌شناسی و کدورت) و طی مدت نگهداری (پایداری اندازه ذرات، پتانسیل زتا و پایداری اکسیداتیو) و در ادامه غنی‌سازی شیر با نانوحامل تولیدی و بررسی میزان CLA آزاد شده در شیر پاستوریزه در طی یک هفته نگهداری انجام شد. برای تحلیل داده‌ها از آزمون آنالیز واریانس (ANOVA) و آزمون مقایسه میانگین‌های دانکن در سطح ۰/۵٪ استفاده شد. محاسبات با استفاده از نرم افزار آماری SPSS ۱۹ انجام شده و نمودارها توسط نرم افزار Excell 2013 رسم شد.

۳. نتایج و بحث

۱.۳. اندازه و توزیع اندازه ذرات NLC حاوی کنژوگه لینولئیک اسید

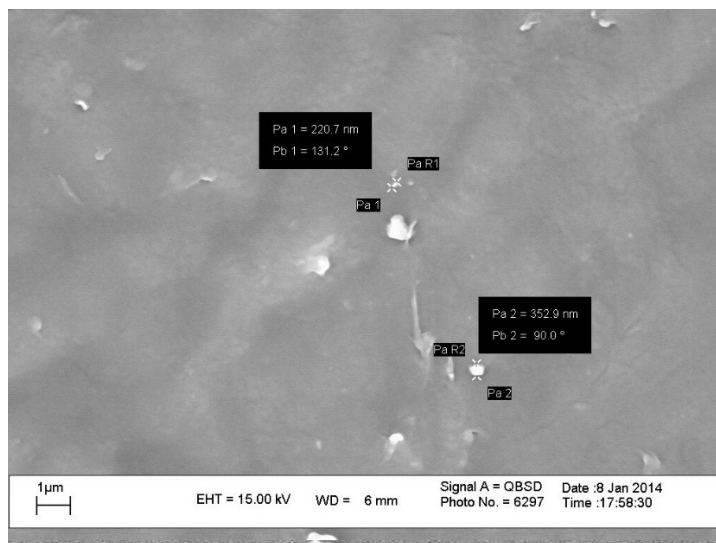
نقش اصلی لیپید جامد در تولید نانوذرات لیپیدی به روش هموژنیزاسیون گرم، در درجه اول، تولید نانوذرات لیپیدی که از نظر فیزیکی پایدار هستند، است. هم‌چنین انتخاب نسبت مناسب از لیپید و روغن در اندازه ذرات، ساختار کریستالی و پایداری سیستم نقش بهسزایی دارد [۱۲، ۵] در غلظت پایین روغن مایع، مولکول‌های روغن بین ماتریکس لیپید جامد پخش شده و NLC دارای ساختار ناقصی متشکل از مخلوط لیپید و روغن می‌شود و در فرمولاسیون‌های حاوی غلظت بالاتر از روغن مایع، حین سرد کردن امتزاج‌پذیری روغن مایع در ساختار لیپید جامد کاهش یافته و جدایی فاز رخ می‌دهد و اندازه و توزیع ذرات افزایش می‌یابد [۹، ۲۰].

فرمولاسیون بر پایه نسبت ۱:۱ لیپید جامد (کره کاکائو) به روغن مایع (CLA) با استفاده از غلظت (w/v) ۳٪ سورفاکtant فاز آبی (پلوکسامر ۴۱۷) به عنوان فرمولاسیون بهینه جهت غنی‌سازی شیر شناخته شد. اندازه‌گیری ذرات با استفاده از دستگاه (یک روز پس از تولید) نشان داد میانگین قطر حجمی ذرات ۸۱ نانومتر و شاخص اسپن ۰/۸۳ بود که نشان دهنده اندازه ذرات در مقیاس نانو با توزیع مناسب و یکنواختی پراکنده‌گی ذرات بود



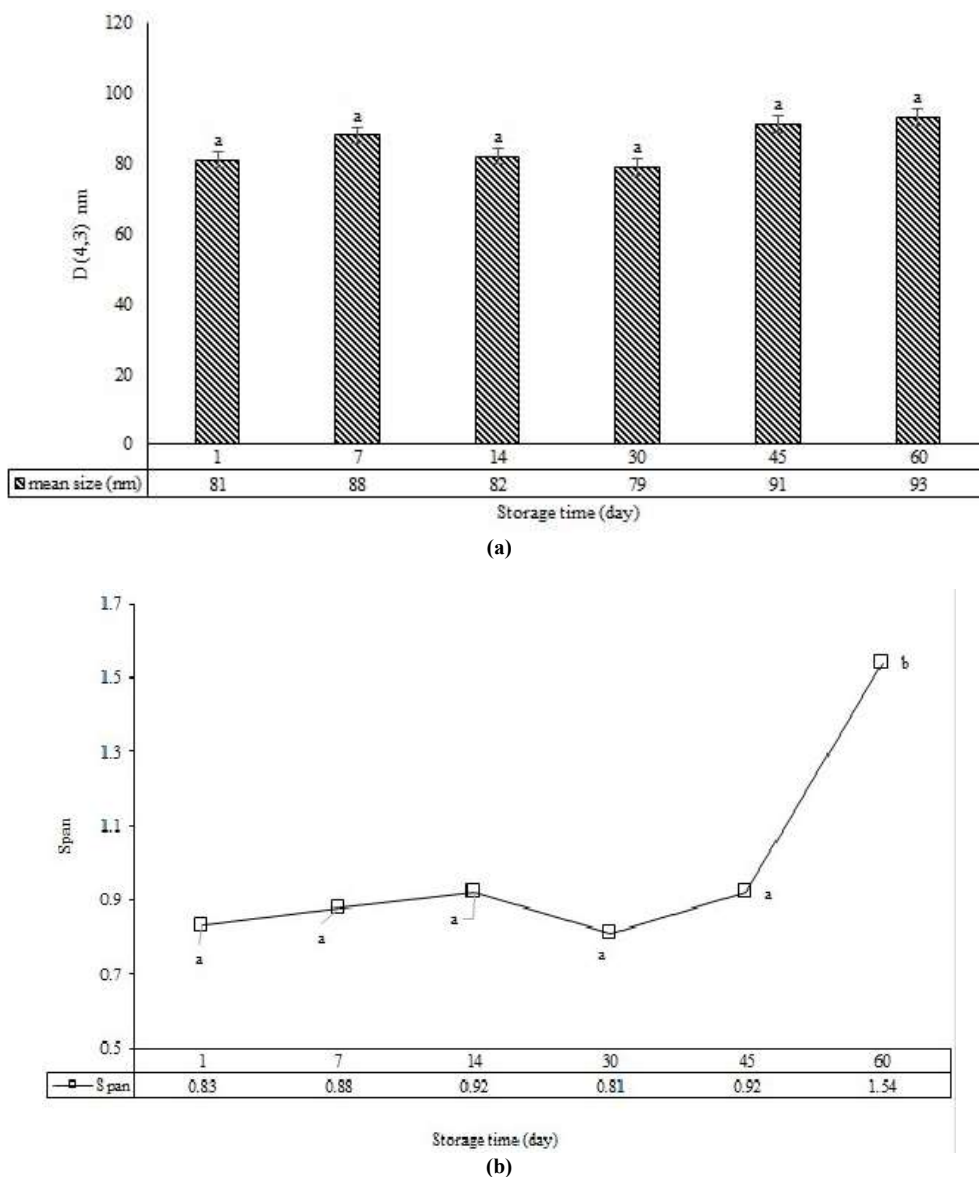
شکل (۱) a) اندازه ذرات و b) توزیع اندازه ذرات یک روز پس از تولید فرمولاسیون بر پایه نسبت ۱:۱۰ لیپید جامد (کره کاکائو) به روغن مایع (CLA) با استفاده از غلظت (w/v) ۳٪ سورفاکtant فاز آبی (پلوکسامر).

Fig. 1 a) particle size and b) particle size distribution one day after production of formulation based on ratio 1:10 solid liquid (cocoa butter) into liquid oil (CLA) using 3 % (w/v) aqueous surfactant NLC formulation (poloxamer417.)



شکل (۲) تصویر میکروسکوپ الکترونی روبشی (SEM) از سیستم حامل لیپیدی نانوساختار حاوی CLA.

Fig. 2 SEM morphology of CLA loaded NLC.



شکل (۳) پایداری (a) اندازه و (b) توزیع اندازه ذرات در فرمولاسیون NLC بر پایه نسبت ۱:۱۰ لیپید جامد (کره کاکائو) به روغن مایع (CLA)، با استفاده از غلظت سورفاکtant فاز آبی (w/v) ۳٪ طی بازه‌های زمانی ۱، ۷، ۱۴، ۳۰، ۴۵ و ۶۰ روز پس از تولید.

Fig.3 size stability of NLC formulation based on 1:10 ratio of solid lipid (cacao butter) to CLA using 3% (w/v) aqueous surfactant phase, during storage days 1, 7, 14, 30, 45 & 60.

این بار سطحی به عواملی چون نوع ترکیب فعال سطحی مورد استفاده، غلظت سورفاکtant بر روی سطح قطره‌ها و شرایط محیطی (pH، دما و قدرت یونی) بستگی دارد. اتمسفر یونی اطراف ذره باردار باعث ایجاد نیروی دافعه الکترواستاتیکی بین قطره‌ها می‌شود و زمانی که دو قطره با یکدیگر نزدیک می‌شوند، یک همپوشانی در اتمسفر یونی اطراف آن‌ها ایجاد شده و باعث ایجاد نیروی دافعه بین آن دو قطره می‌شود که این نیرو از تجمع ذرات جلوگیری می‌کند. بنابراین می‌توان با اندازه‌گیری

محیط، پتانسیل زتا نمونه‌ها کاهش می‌یابد که می‌تواند منجر به ناپایداری فیزیکی از جمله تجمع ذرات، آگلومریزاسیون و ژله‌ای شدن آن‌ها شود. پایداری فیزیکی خوب را می‌توان نتیجه تاثیر ممانعت فضایی سورفاکtant‌ها دانست.

۴.۳.پتانسیل زتا
سطح ذرات و قطره‌ها در سیستم‌های کلوپیدی، به دلیل ماهیت خود و یا جذب لایه سورفاکtant یونی دارای بار الکتریکی است و

[۲۵] همان‌طور که در شکل (۴) نشان داده شده، سیستم نانوحامل کلوییدی دارای کدورت نبوده ولی با افزایش میزان درصد روغن و لیپید در فرمولاسیون NLC میزان کدورت نمونه بیش‌تر می‌شود. کدورت سیستم‌های کلوییدی (نانومولسیون و SLN و NLC) در صورتی که قطر متوسط قطرات آن کمتر از ۸۰ نانومتر و توزیع اندازه قطرات در آن باریک باشد، زیر 10.5 cm^{-1} خواهد بود که از لحاظ نوری شفاف و مناسب برای استفاده در نوشیدنی‌های شفاف خواهد بود [۶]. با کاهش اندازه ذرات در مقیاس نانو و هم‌چنین پایداری در طی مدت زمان دافعه بین ذرات زیاد شده که به تبع آن شکست و انعکاس نور کاهش یافته و منجر به کاهش کدورت می‌شود [۲۲]. نیکخت نصرانی و همکاران [۲۶] در مطالعه خود به تولید نوشیدنی فراسودمند حاوی اسید لینولئیک مزدوج (CLA) به عنوان یک جزء فراسودمند پرداختند آن‌ها گزارش کردند درصد بالاتر روغن در سیستم میانگین قطر حجمی ($D_{4,3}$) و کدورت را افزایش داد و باعث کاهش پایداری حرارتی گشت.

۶.۳. بررسی پایداری اکسیداتیو اسید لینولئیک کنژوگه با وارد شدن کنژوگه لینولئیک اسید در سیستم‌های نانوحامل کلوییدی و محافظت این ترکیب در برابر عوامل محیطی، نور و اکسیژن، پایداری اکسیداتیو آن افزایش یافت. درون پوشانی CLA در سیستم نانوحامل لیپیدی باعث محافظت بیش‌تر این ترکیب در برابر اکسیداسیون و تولید کمتر محصولات ثانویه اکسیداسیون (مالون آلدهیدها) شد (شکل ۵). این امر مطابق با نتایج فرید آفایی و همکاران [۱۶]، در درون پوشانی CLA در سیستم حامل لیپیدی (NLC) و نیکخت نصرانی و همکاران [۲۶] در تهیه امولسیون حاوی CLA بود. مالون آلدیید، آلدییدی است که به طور عمده در اتوکسیداسیون اسیدهای چرب با سه یا تعداد بیش‌تری پیوند دوگانه تشکیل می‌شود. این ترکیب قادر به بوده و قادر است با پروتئین‌ها اتصال پیدا کند.

۷.۳. غنی‌سازی شیر کم‌چرب پاستوریزه با نانوحامل لیپیدی حاوی CLA و حفظ آن در طی مدت نگهداری نتایج نشان داد با توجه به مساحت پیک (۳/۷۳ درصد) با احتساب فاکتور تصحیح (۰/۹۱) درصد اسید لینولئیک کنژوگه

پتانسیل زتا، پایداری فیزیکی ساختارهای NLC را مورد بررسی و پیش‌بینی کرد [۱۳، ۶]. با توجه به غیر یونی بودن سورفاکtant فاز آبی (پلوکسامر ۴۰۷) و هم‌چنین سایر ترکیبات تشکیل‌دهنده سیستم، مقدار پتانسیل نمونه‌ها خیلی جزیی و نزدیک صفر به دست آمد و با توجه به ساختار حجیم و پلیمری بودن پلوکسامر ۴۰۷ می‌توان پایداری نانوذرات در طول مدت نگهداری را به دافعه فضایی (استریک) ناشی از مولکول‌های سورفاکtant نسبت داد و در این سیستم دافعه الکترواستاتیک نقش بسزایی را در پایداری ذرات ایفا نکرد (جدول ۲). پلی‌هیدروکسی سورفاکtant‌ها پایدارکننده‌های غیر یونی ایجادکننده ممانعت فضایی هستند که با توجه به غیر یونی بودن آن‌ها، پتانسیل زتا محلول پایین و به طور تقریب صفر به دست می‌آید [۹، ۲۲].

جدول (۲) پتانسیل زتای حامل‌های لیپیدی نانوساختار حاوی CLA در طی مدت نگهداری

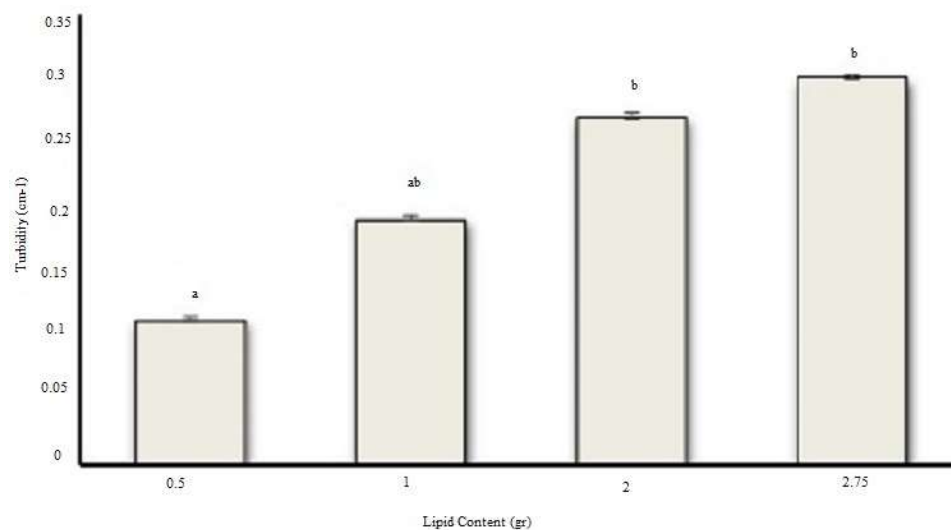
Table 2 Zeta potential of CLA loaded NLC during storage time

پتانسیل زتا Zeta Potential (mv.)	مدت نگهداری Storage time (day)
0.367a	1
0.312 a	15
0.32 a	30
0.402 a	60

لیم و کیم [۲۴] در تولید نانوحامل‌های لیپیدی رتینوبیک اسید پوشش دار شده توسط پلی اتیلن گلیکول (PEG)، ذراتی با اندازه ۳۰۰-۱۵۰ نانومتر و پتانسیل زتا -38 mv در تحقیقی بروی حامل‌های لیپیدی نانوساختار حاوی ترکیب فلاونوییدی هیسپریتین گزارش نمودند پتانسیل زتا NLC‌های تولیدی به مقدار کم و در محدوده ۴۲-۵/۵ میلی ولت قرار دارد. آنان جهت افزایش پتانسیل زتا و پایداری الکترواستاتیکی نانوحامل‌های لیپیدی، از پوشش دهنده سطح ذرات با کیتوزان، آرژینات و پکتین استفاده کردند.

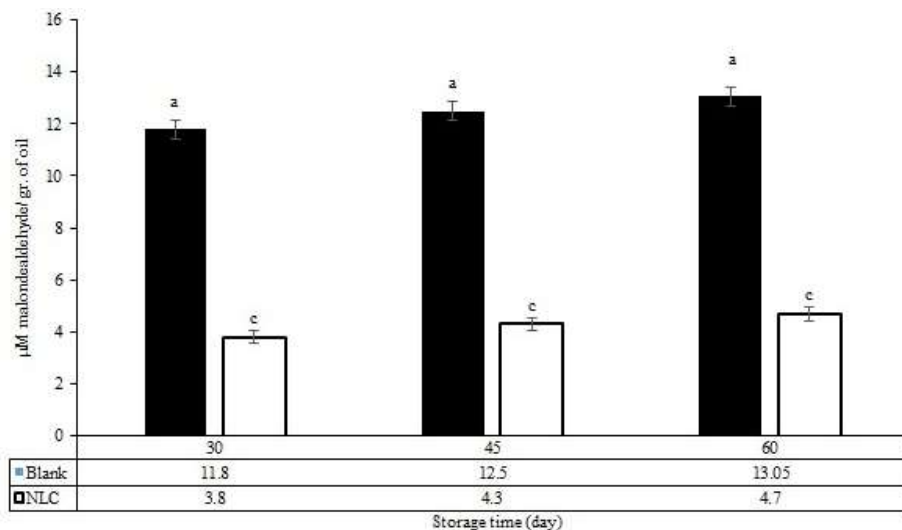
۵.۳. اندازه‌گیری میزان کدورت

کدورت توسط مقادیر نور پخش شده توسط ذرات موجود در محیط سوسپانسیون تعیین می‌شود و به ماهیت، تعداد، اندازه کلوییدی ذرات موجود در فاز مایع و تفاوت در ضریب انعکاس ذرات و محیط سوسپانسیون و توزیع اندازه ذرات بستگی دارد



شکل (۴) میزان کدورت در فرمولاسیون NLC حاوی اسید لینولئیک کنزوگه در چهار سطح محتوی لیپید (۰/۵، ۱، ۲، ۲/۷۵ گرم).

Fig. 4 Turbidity of CLA loaded NLC in 4 level of lipid (0.5, 1, 2, 2.75 gr)



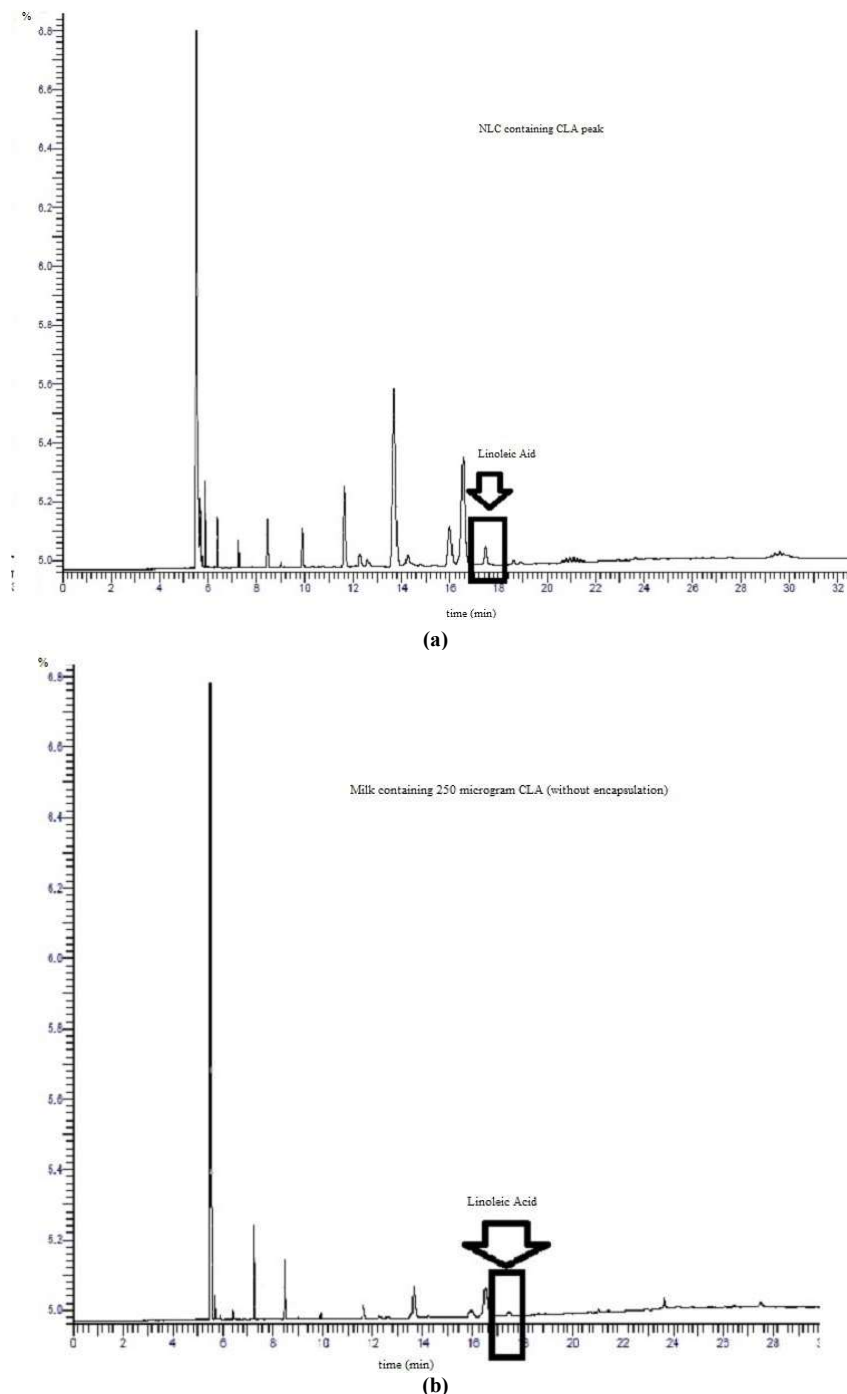
شکل (۵) نتایج حاصل از آزمون تیوباربیوتیک اسید بر روی نمونه‌های شاهد (مولسیون ساده از ۲۵۰ میکروگرم CLA در آب دوبار تقطیر) و نانوحامل لیپیدی حاوی CLA طی روزهای ۳۰، ۴۵ و ۶۰ روز نگهداری (حروف متفاوت نشان‌دهنده تفاوت معنی‌دار در سطح ۵٪ است).

Fig. 5 The result of thio barbituric acid on witness samples(simple emulsion from 250 µg CLA in double distilled water) and NLC containing CLA in days of 30, 45, and 60 of storage time (Different letters indicate meaningful differences at level of 5%).

لیپید جامد استفاده می‌شود، با اضافه نمودن روغن مایع به ساختار نانوحامل (NLC)، میزان کریستالیزه شدن مجدد لیپید و در نتیجه خروج ترکیبات فعال کمتر شده و در نتیجه کارایی بالاتری از درون‌پوشانی و محافظت ترکیب فعال حاصل می‌شود (شکل ۷) [۱].

پژوهشکی و همکاران [۲] در تحقیق خود به غنی‌سازی شیر کم-چرب با ویتامین A پالمیتات درون‌پوشانی شده در فرمولاسیون

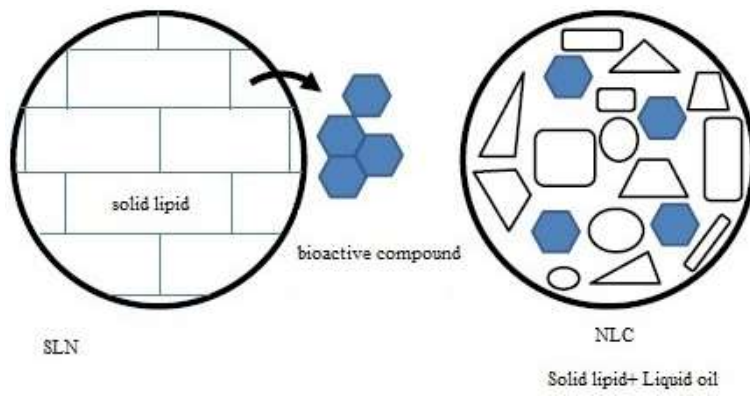
موجود در شیر کم-چرب غنی‌شده ۳/۹ درصد اسیدهای چرب شیر بود (شکل ۶). با توجه به ساختار جامد NLC در اثر به کار بردن لیپید جامد به همراه روغن مایع، در مقایسه با سیستم‌های نانومولسیون که در آن‌ها تنها از روغن مایع استفاده می‌شود امکان رساندن ترکیب فعال به بافت هدف و حداقل اثرات سوء ترکیبات درون‌پوشانی شده حاصل می‌شود [۷، ۱۳]. همچنین در مقایسه با ساختارهای لیپیدی جامد (SLN) که در آن‌ها تنها از



شکل (۶) نتایج کروماتوگرافی گازی دو نمونه (a) شیر غنی شده با NLC حاوی کونژوگه لینولئیک اسید و (b) شیر حاوی ۲۵۰ میکروگرم کونژوگه لینولئیک اسید خالص بدون درون پوشانی.

Fig. 6 Chromatography results of two type of enriched a) milk with NLC and NE containing CLA and b) milk containing 250 µg pure CLA without encapsulation.

بهینه NLC برپایه (w/v) ۶٪ سورفاکtant (پلوکسامر ۴۰۷)، (w/v) ویتامین A پالمیتات و دارای اندازه ذرات (۷۸ نانومتر با پرسرول (لیپید جامد) و اکتیل اکتانیت (روغن مایع) حاوی ۳٪ ضریب پراکنش ۰/۶۰۲، کارایی درون پوشانی ۹۸/۵٪ پرداختند.



شکل (۷) تفاوت ساختارهای SLN و NLC (پژشکی و همکاران، ۱۳۹۳).

Fig. 7 SLN and NLC structures (Pezeshki et al., 2014).

اکسیداتیو نشان داد با درون پوشانی CLA در سیستم NLC محافظت این ترکیب در برابر اکسیداسیون بیشتر و تولید محصولات ثانویه اکسیداسیون (مالون آلدیدها) کمتر بود. استفاده از NLC بر روی پایداری و حفظ CLA در برابر فرایند حرارتی (پاستوریزاسیون) اثرگذار بود و مقدار ۳/۹ درصد از CLA در شیر طی مدت نگهداری حفظ شد و در نهایت با توجه به مقدار اندک CLA در شیر کم چرب که با حذف و کم کردن چربی از آن صورت می‌پذیرد، می‌توان با به کارگیری فناوری نانو و استفاده از نانوحامل‌ها ضمن محافظت از آن در برابر شرایط محیطی و اکسیداسیون، کمبود این ترکیبات مغذی را جبران کرد.

آن‌ها گزارش کردند درون‌پوشانی ویتامین A پالمیتات توسط سیستم NLC باعث محافظت بیشتر و معنی‌داری از ویتامین در برابر فرایند حرارتی شد.

۴. نتیجه‌گیری

فرمولاسیون تولیدی NLC به روش هموژنیزاسیون داغ با نیروی برشی بالا با اندازه قطرات در مقیاس نانو، در طی مدت زمان نگهداری پایدار بوده و مکانیسم‌های ناپایداری در آن اتفاق نیفتاد. مقدار پتانسیل نمونه‌ها در طی مدت نگهداری خیلی جزئی و نزدیک صفر به دست آمد و نتایج حاصل از پایداری

منابع

- [5] Pezeshky Najafabadi, A. and mohammadi, M. (2017). Nano lipid carrier as target delivery systems for enrichment beverages by bioactive compounds. *Innova. Food Sci. Technol.*, 9(Ghochan issue), 9-27.
- [6] Yang, Y., Corona III A., Schubert, B., Reeder, R. and Henson, M.A. (2014). The effect of oil type on the aggregation stability of nanostructured lipid carriers. *J. Colloid Interface Sci.*, 418, 261–272.
- [7] Weiss, J., Decker, E.A., McClements, D.J., Kristbergsson, K., Helgason, T., and Awad, T. (2008). Solid lipid nanoparticles as Delivery Systems for Bioactive Food Components. *Food Biophys.*, 3, 146–154.
- [8] Fathi, M., Mozafari M.R. and Mohebbi M. (2012). Nanoencapsulation of food ingredients using lipid based delivery systems. *Trends Food Sci. Technol.*, 1-15.
- [9] Mohammadi, M., Pezeshki, A., Mesgari, M., Ghanbarzadeh, B., Hamishehkar ,H. (2017). Vitamin D3-Loaded Nanostructured Lipid Carriers as a Potential Approach for Fortifying Food Beverages; in Vitro and in Vivo Evaluation. *Adv. Pharm. Bullet.*, 7(1),61-71.
- [1] Gonnet, M., Lethuaut, L. and Boury, F. (2010). New trends in encapsulation of liposoluble vitamins. *J. Control. Release*, 146, 276-290.
- [2] Akram Pezeshky, A., Ghanbarzadeh, B., Hamishehkar, H., Moghadam, M. and Mohammadi, M. (2014). Vitamin A Palmitate Bearing Nano-structured Lipid Carrier (NLC): Factors affecting particle Size, encapsulation efficiency and stability. *Innova. Food. Technol.* 2(1), 67-82.
- [3] Tamjidi, F., Shahedi, M., Varshosaz, J. and Nasirpour, A. (2013). Nanostructured lipid carriers (NLC): A potential delivery system for bioactive food molecules. *Innov. Food Sci. Emerg. Technol.*, 19, 29-43.
- [4] Das, S., Ng, W.K. and Tan, R.B.H. 2012. Are nanostructured lipid carriers (NLCs) better than solid lipid nanoparticles (SLNs): Development, characterizations and comparative evaluations of clotrimazole-loaded SLNs and NLCs? *Eur. J. Pharm. Sci.*, 47(1), 139-151.

- [23] Qian, CH., Decker, E.A., Xiao, H. and McClements, D.J. (2013). Impact of lipid nanoparticle physical state on particle aggregation and β -carotene degradation: Potential limitations of solid lipid nanoparticles. *Food Res. Int.*, 52, 342-349.
- [24] Lim, S.J. and Kim, C.K. (2002). Formulation parameters determining the physicochemical characteristics of solid lipid nanoparticles loaded with all-trans retinoic acid. *Int. J. Pharm.* 243(1-2), 135-146.
- [25] Saberi, A.H., Fang, Y. and McClements, D.J. (2013). Fabrication of vitamin E-enriched nanoemulsions: factors affecting particle size using spontaneous emulsification. *J. Colloid Inter. Sci.* 391, 95-102.
- [26] Nikbakht Nasrabadi, M., Goli, S.A.H., Nasirpour , A. (2016). Stability assessment of conjugated linoleic acid (CLA) oil-in-water beverage emulsion formulated with acacia and xanthan gums. *Food Chem.*, 199, 258-267.
- [10] Lacatusu, I., Badea, N., Ovidiu, O., Bojin, D. and Meghea, A. (2012). Highly antioxidant carotene-lipid nanocarriers: synthesis and antibacterial activity. *J. Nanopart. Res.*, 14, 902-918.
- [11] Fathi, M. and Varshosaz, J. (2013). Novel hesperetin loaded nanocarriers for food fortification: Production and characterization. *J. Funct. Foods*, 5, 1382-1391.
- [12] Liu, C.H. and Wu, C.T. (2010). Optimization of nanostructured lipid carriers for lutein delivery. *Colloids and Surfaces A: Physicochem. Eng. Aspects*, 353, 149-156.
- [13] Sun, M., Nie, S., Pan, X., Zhang, R., Fan, Z. and Wang, S. (2014). Quercetin-nanostructured lipid carriers: Characteristics and anti-breast cancer activities in vitro. *Colloid Surf. B.*, 113, 15-24.
- [14] Pezeshki, A., Ghanbarzadeh, B., Mohammadi, M., Fathollahi, I., Hamishehkar ,H. (2014). Encapsulation of Vitamin A Palmitate in Nanostructured Lipid Carrier (NLC)-Effect of Surfactant Concentration on the Formulation Properties. *Adv. Pharm. Bullet.*, 4(Supp2), 563-568.
- [15] Farid Aghaie, S., GHanbarzadeh, B. and Hamishehkar, H. (2016). Conjugated linoleic acid loaded nanostructured lipid carriers (NLC): optimization of particle size by response surface methodology. *J. Food Res.*, 25(3), 441-456.
- [16] MacDonald, H. (2003). Conjugated Linoleic acid and its association with Disease Prevention. *Journal of the American College of Nutrition*. 19(2): 111-117.
- [17] Xia, S., and Xu, S. (2005). Ferrous sulfate liposomes: preparation, stability and application in fluid milk. *Food Research. Int.*, 38: 289-296.
- [18]. Fatouros, D.G. and Antimisiaris, S.G. (2002). Effect of amphiphilic drugs on the stability and zeta-potential of their liposome formulations: a study with prednisolone, diazepam, and griseofulvin. *J. Colloid Inter. Sci.* 251(2), 271-277.
- [19] Klang, V., et al. (2012). Electron microscopy of nanoemulsions: an essential tool for characterisation and stability assessment. *Micron*. 43(2), p. 85-103.
- [20] Müller, R.H., Radtke, M. and Wissing, S.A. (2002). Nanostructured lipid matrices for improved microencapsulation of drugs. *Int. J. Pharm.*, 242, 121-128.
- [21] Dai, Q., Zhu, X., Abbas, S., Karangwa, E., Zhang, X., Xia, S., (2015). Stable nanoparticles prepared by heating electrostatic complexes of whey protein isolate-dextran conjugate and chondroitin sulfate. *J. Agri. Food Chem.*, 63(16), 4179-4189.
- [22] Kovacevic, A.B., Muller, R.H., Savic, S.D., Vuleta, G.M. and Keck, C.M. (2014). Solid lipid nanoparticles (SLN) stabilized with polyhydroxy surfactants: Preparation, characterization and physical stability investigation. *Colloids Surf. A*, 444, 15-25.